

УДК 539.184.01

УРОВНИ ЭНЕРГИИ В ПОТЕНЦИАЛЕ ТОМАСА—ФЕРМИ И ИХ СВЯЗЬ С АТОМНЫМИ СПЕКТРАМИ

Ю. Н. Демков и Н. Б. Березина

Используя потенциал Томаса—Ферми, численно решено уравнение Шредингера для всевозможных значений n и l в интервале заряда ядра от 0 до $Z=100$. Построен график зависимости энергии E от заряда ядра атома. Приведено сравнение полученных результатов с результатами работы [1], а также с расчетами, выполненными по методам Хартри и Хартри—Фока.

Известно, что потенциал Томаса—Ферми является довольно хорошим приближением для потенциала самосогласованного поля как для тяжелых, так даже и для легких атомов. Поэтому в ряде случаев мы можем использовать уровни энергии электронов в этом потенциале и их волновые функции для различных расчетов (в частности, как исходное приближение в методе самосогласованного поля). В связи с этим представляется интересным произвести последовательный расчет всех связанных состояний в потенциале Томаса—Ферми для всех Z в достаточно широком интервале. Такой расчет позволяет получить максимально простую и наглядную картину поведения уровней энергии с изменением Z , их пересечения, выход в сплошной спектр.

Основное отличие потенциала Томаса—Ферми от более реального потенциала самосогласованного поля состоит в том, что на больших расстояниях потенциал Томаса—Ферми быстро убывает (как $1/r^3$), а для потенциала самосогласованного поля основным является кулоновское взаимодействие электрона и ядра. Поэтому уровни с малой энергией связи в потенциале самосогласованного поля являются водородоподобными и никогда не переходят в сплошной спектр. Вот почему в имеющихся расчетах Латгера [1] потенциал Томаса—Ферми сшивался на больших расстояниях с кулоновским

$$\left. \begin{aligned} V(r) &= -\frac{Ze^2}{r} \varphi(r, Z), \quad \text{если } V(r) \leq -\frac{e^2}{r}; \\ V(r) &= -\frac{e^2}{r}, \quad \text{если } V(r) > -\frac{e^2}{r}, \end{aligned} \right\} \quad (1)$$

где $\varphi(r, Z)$ — точная функция Томаса—Ферми.

Однако такой расчет не является в достаточной мере внутренне согласованным, причем сравнение с расчетом для чистого потенциала Томаса—Ферми показывает, что решения четко разделяются на два класса: водородоподобные, в которых основную роль играет кулоновское поле, и решения, в которых кулоновское поле на больших расстояниях мало существенно. Из сравнения видно также, что четкий смысл имеют те области Z , в которых уровни энергии переходят в сплошной спектр. Все эти соображения показывают, что расчет уровней энергии в чистом потенциале Томаса—Ферми вполне оправдан. В частности, можно ожидать соответствия между значениями Z , при которых впервые появляются электроны с данными значениями n, l в реальных атомах и теми значениями Z , когда соответ-

ственные связанные состояния впервые появляются в потенциале Томаса—Ферми.

Для состояний $2S$ и $2P$ различных атомов периодической таблицы Титцем был использован потенциал

$$V(r) = -\frac{Ze^2}{r(1+Ar)^2}, \quad A = 0.64301Z^{1/3}, \quad (2)$$

являющийся хорошей аппроксимацией потенциала Томаса—Ферми [2]. На рис. 2 приведено сравнение функции

$$\chi = \frac{r}{Z} V(r)$$

для потенциала Титца с аналогичной функцией для чистого потенциала Томаса—Ферми.

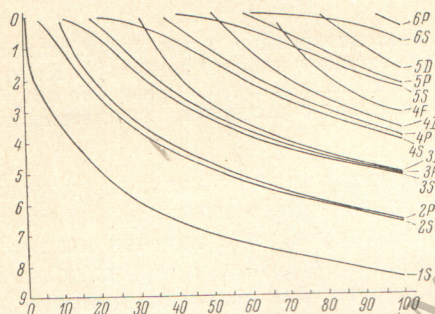


Рис. 1.

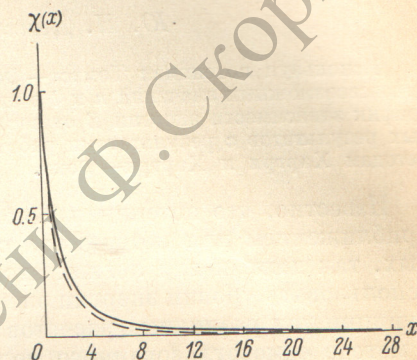


Рис. 2.

В данной работе был использован точный потенциал Томаса—Ферми, определяемый уравнением

$$\varphi(r) = -\frac{Z}{r} \chi\left(\frac{Z^{1/3}r}{b}\right), \quad (3)$$

где

$$b = \frac{1}{2} \left(\frac{3\pi}{4}\right)^{2/3} \approx 0.8853,$$

а $\chi(x)$ удовлетворяет в свою очередь уравнению

$$x^{1/2} \frac{d\chi}{dx} = \chi^{3/2} \quad (4)$$

с граничными условиями $\chi=1$, при $x=0$ и $\chi=0$, при $x=\infty$ [3].

Уравнение Шредингера для радиальной функции $R(r)$

$$\frac{1}{r^2} \frac{d}{dr} \left(r^2 \frac{dR}{dr} \right) - \frac{l(l+1)}{r^2} R + 2[E - \varphi(r)] = 0. \quad (5)$$

Уравнение (5) решалось численно для большинства атомов таблицы Менделеева для различных связанных состояний (n, l) . По полученным результатам построен график зависимости энергии E от заряда ядра Z для всевозможных значений n и l в интервале от 0 до $Z=100$ (рис. 1). Исключение составляют лишь некоторые уровни энергии с $E \sim 10^{-3}$ ат. ед. для $l=0$ и с $E < 0.4$ ат. ед. для других значений l . Вычисление точных значений энергии в этой области не представляется необходимым, так как здесь по существу уже неприменимо само приближение Томаса—Ферми, а основную роль играет кулоновский потенциал. Так как особое значение имеет поведение функции $E(Z)$ при малых $|E|$, для энергии при построении графика был использован масштаб $\ln(1+|E|)$ (E — в ат. ед.).

При вычислении энергий, соответствующих наибольшему значению l , которое еще определяет связанное состояние атома, возникают большие трудности. Они связаны с тем, что функция $\varphi(r) r^2$ для этих значений имеет очень пологий максимум, и потенциал Томаса—Ферми $\varphi(r)$ будет почти полностью скомпенсирован центробежным потенциалом. Поэтому даже небольшое изменение начального приближения по энергии приводит к резкому изменению волновой функции. А следовательно, для сходимости метода приходится брать начальное приближение для энергии, крайне близкое к впоследствии уточненному значению в пределах имеющейся погрешности.

Из кривых на рис. 1 видно, что уровни энергии $3D, 4D, 4F, 5D$ пересекают уровни $4S, 5S, 5S$ и $5P, 6S$ соответственно. Наглядно прослеживается переход от водородоподобной последовательности уровней энергии для глубоких состояний, правило $(n; l)$, к правилу $(n+l; n)$ для мелких уровней энергии, обсуждавшемуся в работе [4]. В частности, видно, что уровни с данным значением $N=n+l$ переходят в сплошной спектр при близких значениях Z (все эти значения точно совпадают для аппроксимации (2) Титца [5]).

Для S уровней значения Z_0 , при которых кривые пересекают ось Z , т. е. соответствующие выходу в сплошной спектр, могут быть довольно точно определены из рассмотрения длин рассеяния на потенциале Томаса—Ферми. Из графика, приведенного в работе [6], можно указать приблизительно эти значения.

Аналогичные расчеты можно произвести и для $l \neq 0$. Но методы, используемые в работе (6), здесь неприменимы. Для этих значений l мы будем иметь для волновой функции асимптотику вида

$$A(l, Z) r^{l+1} + \frac{1}{r^l}$$

и значения Z_0 , соответствующие выходу в сплошной спектр, определяются из уравнения

$$A(l, Z_0) = 0.$$

В таблице приведены Z_0 для различных значений главного квантового числа n и $N=n+l$.

l	Z_N					
	2.2	6.2	13.4	24.7	40.8	62.9
	N					
	2	3	4	5	6	7
0	2.5	7.5	17.5	33.5	57.0	90.0
1	—	6.5	14.5	27.5	47.5	74.0
2	—	—	—	25.9	43.8	68.7
3	—	—	—	—	—	65.9

Представление о поведении энергетических кривых вблизи $E=0$ можно получить, если рассмотреть потенциал Титца (2), где $A = \kappa Z^{1/2}$. В работе [4] было показано, что в этом случае для $l \neq 0$

$$\left. \frac{\partial F_{nl}}{\partial Z} \right|_{z=Z_N} = \left(\frac{\partial V}{\partial Z} \right)_{nl} \frac{\alpha^3 Z_N \left(N + \frac{1}{2} \right)}{b^3 \left(2l + \frac{3}{2} \right) \{ f(n+1) - f(n-1) \}}, \quad (6)$$

где

$$F(\nu) = \frac{\Gamma(2l-1) \Gamma(2l+3) \Gamma(\nu-1) \Gamma(4l+n_2+3) \Gamma(4l+\nu+4)}{n! (\nu-1)! \Gamma(4l+n+1) \Gamma(4l+3) \Gamma(4l+5)} \times \\ \times {}_4F_3(-n, 4l+n+3, 2l-1, -3; 2l+2, 4l+\nu+1, -\nu-2; 1);$$

$$\left(\frac{\partial V}{\partial Z}\right)_{nl} = -\frac{b^2}{3a^2 Z^{2/3} N^3} \frac{\pi 2^{-4(2l+1)} \Gamma(4l+n+3)}{n! \left(n+2l+\frac{3}{2}\right) \left[\Gamma\left(2l+\frac{3}{2}\right)\right]^2}.$$

$$a = AbZ^{-2/3}.$$

Точки пересечения уровнями оси Z совпадают для уровней с одинаковым числом $N = (n + l)$. Из графика, приведенного на рис. 3, видно,

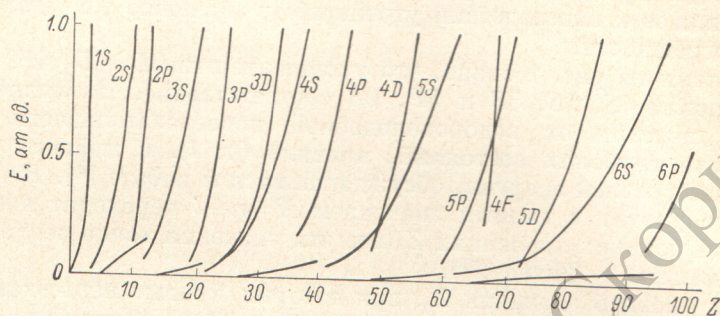


Рис. 3.

что производные, вычисленные таким способом, хорошо отражают действительный ход кривых для $l=1$.

Для $l=0$ при аппроксимации потенциала потенциалом Титца получается квадратичная зависимость E от Z для малых значений $|E|$

$$\frac{\partial \sqrt{E_{n0}}}{\partial Z} = \frac{2}{3n(n+1)\left(n+\frac{1}{2}\right)}. \quad (7)$$

Формула (7) непосредственно следует из формулы (П. 3) работы [4]. Кривые, соответствующие $l=0$ на рис. 3 при небольших $|E_{n0}|$ идут значительно круче, чем это следует из уравнения (7).

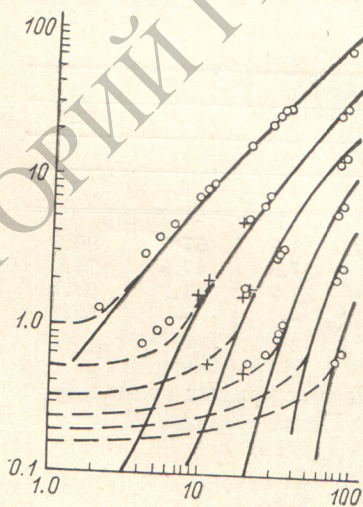


Рис. 4.

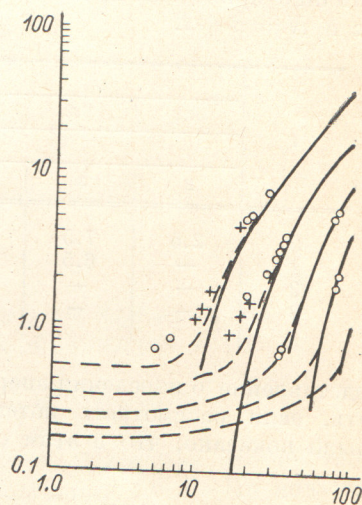


Рис. 5.

Интересно сравнить полученные результаты с вычислениями, сделанными по методам Хартри и Хартри—Фока, а также с результатами работы [1]. На рис. 4—7 сплошной линией проведены кривые, полученные в данной работе, штриховой линией — кривые, полученные Латтером, а кружками и крестиками обозначены результаты расчетов, выполненных по методу Хартри и Хартри—Фока. Видно, что кривые Латтера в области

малых $|E|$ сильно отличаются от аналогичных кривых, полученных в данной работе. За это ответствен кулоновский потенциал, который сшивается с потенциалом Томаса—Ферми (1). Здесь мы имеем дело с задачей о нахождении энергетических уровней в поле, имеющем вид двух ям, разделенных барьером, который тем выше, чем больше l . При увеличении Z яма потенциала Томаса—Ферми углубляется и расширяется. При появлении в ней уровня энергии возникает резонанс его с уровнем

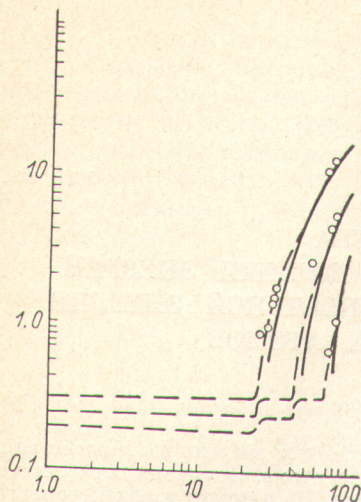


Рис. 6.

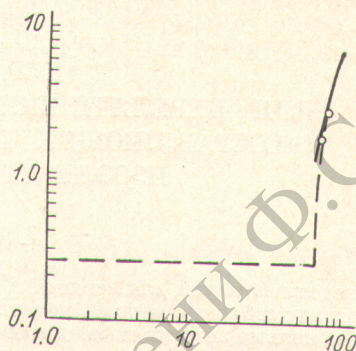


Рис. 7.

энергии в кулоновской яме, приводящий к расщеплению уровней. Этим объясняются резкие скачки энергии на графиках Латтера. При достаточно высоком барьере уровни энергии в яме Томаса—Ферми могут выйти в область положительных энергий. Следовательно, чем больше l (т. е. чем выше барьер), тем более оправдано использование потенциала Томаса—Ферми для расчета уровней энергии и волновых функций реальных атомов.

Литература

- [1] R. Latter. Phys. Rev., 99, 510, 1955.
- [2] T. Tietz. Ann. d. Phys., 12, 373, 1964.
- [3] Л. Ландау, Е. Лифшиц. Квантовая механика (нерелятивистская теория). Физматгиз, 1963.
- [4] В. М. Клечковский. Распределение атомных электронов и правило последовательного заполнения $(n+1)$ -групп. Атомиздат, 1969.
- [5] Ю. Н. Демков, В. Н. Островский. ЖЭТФ, 62, 125, 1972.
- [6] L. Robinson. Phys. Rev., 117, 1281, 1960.

Поступило в Редакцию 2 декабря 1971 г.